

Hiver 2018

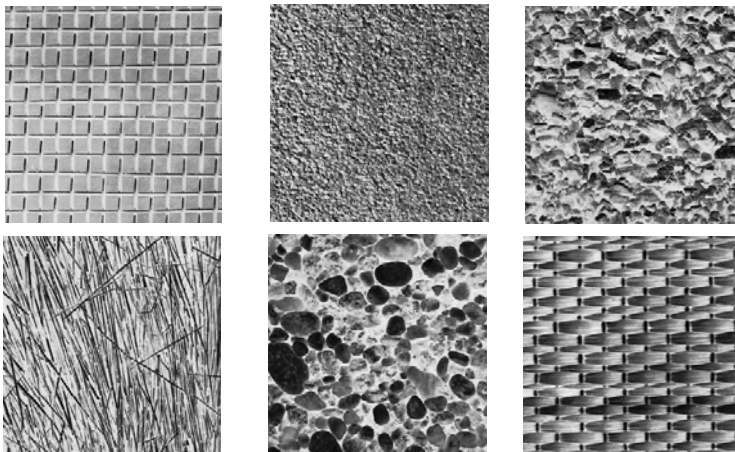
# Analyse d'images IMN 259

Représentation des caractéristiques

Par  
Pierre-Marc Jodoin

## Représentation des textures

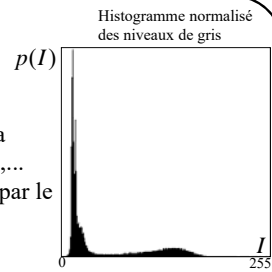
Texture: image composée d'un élément (le *texton*) qui se répète.



2

## Représentation des textures

Pourquoi quantifier la « texture » d'une image? Pour faire de la segmentation, reconnaissance de contenu, indexation d'images,...  
 Une des façons les plus usuelles de représenter une texture est par le biais des **moments**.



**Moments 1D** : servent à quantifier la forme de l'histogramme de l'image.

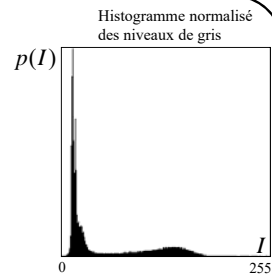
$$m_n = \sum_{i=0}^{255} i^n p(i) \quad \text{n-ième moment}$$

$$\mu_n = \sum_{i=0}^{255} (i - m_1)^n p(i) \quad \text{n-ième moment centré}$$

3

## Représentation des textures

Les moments 1D fréquemment utilisés :



$$m_1 = \sum_{i=0}^{255} ip(i) \quad \text{moyenne}$$

$$\mu_2 = \sigma^2 = \sum_{i=0}^{255} (i - m_1)^2 p(i) \quad \text{variance}$$

$$\mu_3 = \sum_{i=0}^{255} (i - m_1)^3 p(i) \quad \text{Skewness (mesure la symétrie de l'histogramme)}$$

$$\mu_4 = \sum_{i=0}^{255} (i - m_1)^4 p(i) \quad \text{Kurtosis (mesure la « platitude » de l'histogramme)}$$

4

## Représentation des textures

**Moments 2D** : servent à quantifier (grossièrement) la distribution spatiale des niveaux de gris .

$$m_{pq} = \sum_x \sum_y x^p y^q f(x, y) \quad \text{n-ième moment}$$

$$\mu_{pq} = \sum_x \sum_y (x - \bar{x})^p (y - \bar{y})^q f(x, y) \quad \text{n-ième moment centré}$$

où  $\bar{x} = \frac{m_{10}}{m_{00}}$ ,  $\bar{y} = \frac{m_{01}}{m_{00}}$  déterminent le centroïde

5

## Représentation des textures

moment d'ordre 0 → 1 valeur (p=0,q=0)

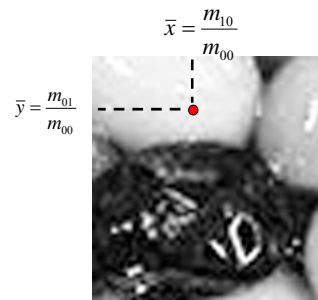
moment d'ordre 1 → 2 valeurs (p=1,q=0) et (p=0,q=1)

moment d'ordre 2 → 3 valeurs (p=2,q=0), (p=0,q=2) et (p=1,q=1)

6

## Représentation des textures

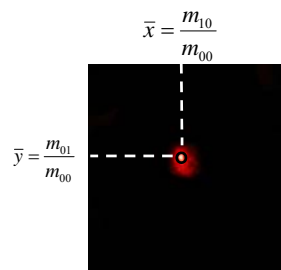
**Moments 2D** : servent à quantifier (grossièrement) la distribution spatiale des niveaux de gris .



7

## Représentation des textures

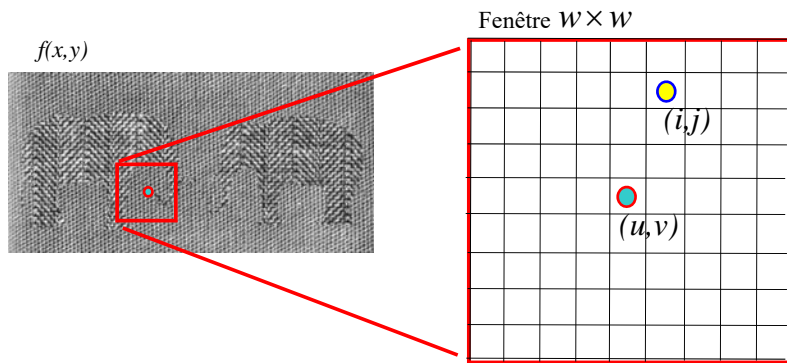
**Moments 2D** : très utiles pour localiser un point laser .



8

# Segmentation sur la base des textures

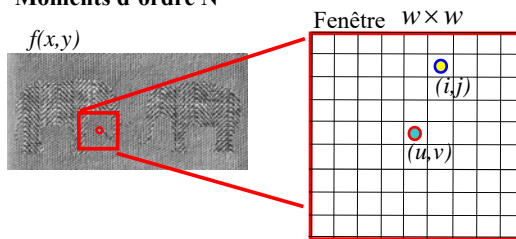
Moments d'ordre N



9

# Segmentation sur la base des textures

Moments d'ordre N

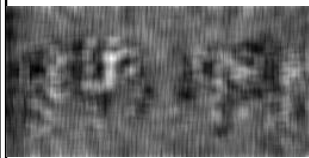
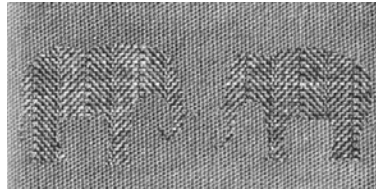


$$m_{pq}(u,v) = \sum_{i=u-w/2}^{u+w/2} \sum_{j=v-w/2}^{v+w/2} f(i,j) \cdot i_m^p \cdot j_m^q \quad \text{où } i_m = \frac{i-u}{w}, j_m = \frac{j-v}{w}$$

$m_{pq}$  est un moment d'ordre N si  $p+q=N$

10

## Représentation des textures



$(p=1, q=1)$



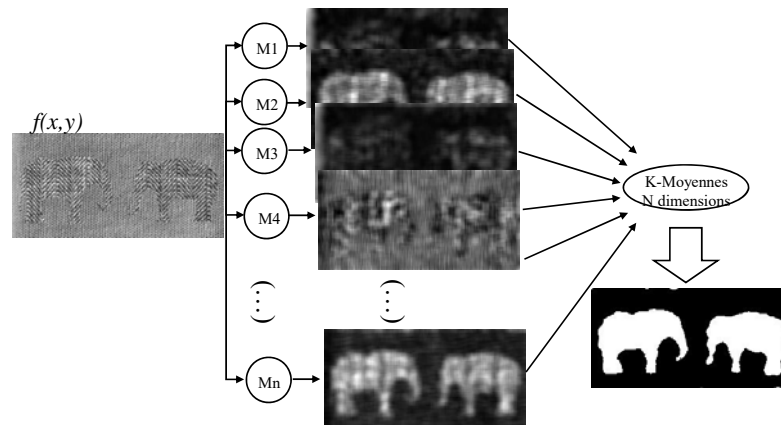
$(p=2, q=0)$



$(p=0, q=2)$

11

## Segmentation sur la base des textures



Une fois les "n" images-moments obtenues, **chaque pixels est associé à n valeurs**. En d'autres mots, chaque pixel devient un point dans un espace à « n » dimensions. Si on émet l'hypothèse que les textures de l'image forment **2 nuages de points** compacts dans cet espace n-D et que chaque nuage suit une **distribution gaussienne d'écart-type égale**, alors on peut segmenter l'image à l'aide de l'algorithme des **K-Moyennes**.

12

## Représentation des textures

Il existe aussi le **moment central normalisé**

$$\eta_{pq} = \frac{\mu_{pq}}{\mu_{00}^{\gamma}} \quad \text{avec} \quad \gamma = \frac{p+q}{2} + 1$$

$\eta_{pq}$  est souvent utilisés pour définir des *invariants* « *I* ».

$$I_1 = \eta_{20} + \eta_{02}$$

$$I_2 = (\eta_{20} - \eta_{02})^2 + (2\eta_{11})^2$$

$$I_3 = (\eta_{30} - 3\eta_{12})^2 + (3\eta_{21} - \eta_{03})^2$$

$$I_4 = (\eta_{30} + \eta_{12})^2 + (\eta_{21} + \eta_{03})^2$$

$$I_5 = (\eta_{30} - 3\eta_{12})(\eta_{30} + \eta_{12})[(\eta_{30} + \eta_{12})^2 - 3(\eta_{21} + \eta_{03})^2] + (3\eta_{21} - \eta_{03})(\eta_{21} + \eta_{03})[3(\eta_{30} + \eta_{12})^2 - (\eta_{21} + \eta_{03})^2]$$

$$I_6 = (\eta_{20} - \eta_{02})[(\eta_{30} + \eta_{12})^2 - (\eta_{21} + \eta_{03})^2] + 4\eta_{11}(\eta_{30} + \eta_{12})(\eta_{21} + \eta_{03})$$

$$I_7 = (3\eta_{21} - \eta_{03})(\eta_{30} + \eta_{12})[(\eta_{30} + \eta_{12})^2 - 3(\eta_{21} + \eta_{03})^2] - (\eta_{30} - 3\eta_{12})(\eta_{21} + \eta_{03})[3(\eta_{30} + \eta_{12})^2 - (\eta_{21} + \eta_{03})^2].$$

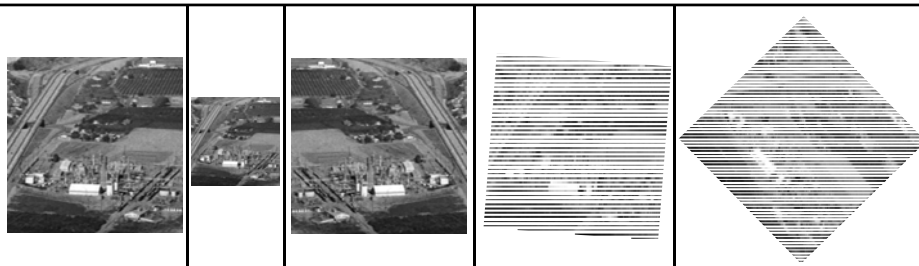
13

## Représentation des textures

Les invariants « *I* » retournent la même valeur

Invariant (Log)	Original	Half Size	Mirrored	Rotated 2°	Rotated 45°
$\phi_1$	6.249	6.226	6.919	6.253	6.318
$\phi_2$	17.180	16.954	19.955	17.270	16.803
$\phi_3$	22.655	23.531	26.689	22.836	19.724
$\phi_4$	22.919	24.236	26.901	23.130	20.437
$\phi_5$	45.749	48.349	53.724	46.136	40.525
$\phi_6$	31.830	32.916	37.134	32.068	29.315
$\phi_7$	45.589	48.343	53.590	46.017	40.470

[Gonzalez et Woods]



## Représentation des textures

Le problème avec les métriques basées sur les moments est qu'elles contiennent peu ou pas d'information quant à la *distribution spatiale* des niveaux de gris. Une façon de ramener cette information est d'utiliser la **matrice de co-occurrence**.

Image 5x5 ayant 3 niveaux de gris différents

0	0	0	1	2
1	1	0	1	1
2	2	1	0	0
1	1	0	2	0
0	0	1	0	1

Matrice de co-occurrence

$$\theta = 0$$

$$A = \begin{matrix} & \begin{matrix} 0 & 1 & 2 \end{matrix} \\ \begin{matrix} 0 \\ 1 \\ 2 \end{matrix} & \begin{bmatrix} 4 & 4 & 1 \\ 4 & 3 & 1 \\ 1 & 1 & 1 \end{bmatrix} \end{matrix}$$

$A(0,0)$ : Le nombre de fois qu'un pixel d'intensité 0 était à la droite d'un pixel d'intensité 0 est 4

$A(2,1)$ : Le nombre de fois qu'un pixel d'intensité 2 était à la droite d'un pixel d'intensité 1 est 1

Plus les valeurs le long de la diagonale sont élevées, plus la texture est uniforme (et vice-versa). 15

## Représentation des textures

On peut remplacer A par une matrice de probabilité « c » qu'on appelle la **matrice de co-occurrence**:

$$c = \frac{A}{\sum_{i,j} A(i,j)}$$

$$c = \begin{bmatrix} 4 & 4 & 1 \\ 4 & 3 & 1 \\ 1 & 1 & 1 \end{bmatrix} / 20$$

À l'aide de « c », on peut représenter d'autres statistiques

$$\max_{i,j} (c(i,j))$$

probabilité maximum

$$\sum_i \sum_j (i-j)^k c(i,j)$$

caractérise dans quelle mesure les données dans « c » se distribuent le long de la diagonale.

$$\sum_i \sum_j (c(i,j))^2$$

Mesure d'*uniformité*. Est maximum lorsque toutes les entrées dans « c » sont égales

$$\sum_i \sum_j c(i,j) \log(c(i,j))$$

*Entropie*, mesure le désordre, *c-à-d* est maximum lorsque **c(i,j)=random**

16



## Représentation d'une courbe

17

## Représentation d'une courbe

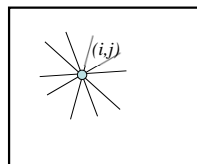
### Transformée de Hough

Trouver les segments de droites (ou autres courbes) présentes dans une image binaire (*edge map*).



(carte de contours *filiformes*).

Pour Hough, si un pixel  $(i,j)$  est blanc dans la carte de contours, cela signifie qu'une droite passe par  $(i,j)$ . Puisque Hough ne tient **pas compte des voisins** de  $(i,j)$ , il ne peut connaître avec précision l'orientation de cette droite. Il considère donc toutes les droites possibles.



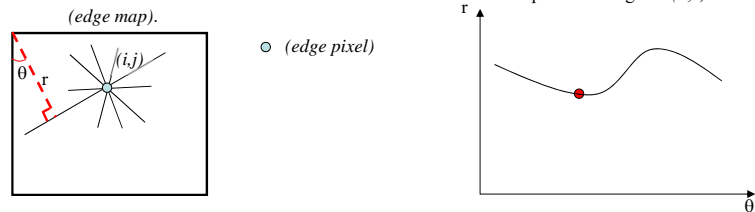
○ *edge pixel*

(*edge map*).

18

## Représentation d'une courbe

### Transformée de Hough



Chaque droite pouvant potentiellement passer par (i,j) peut se représenter comme suit :

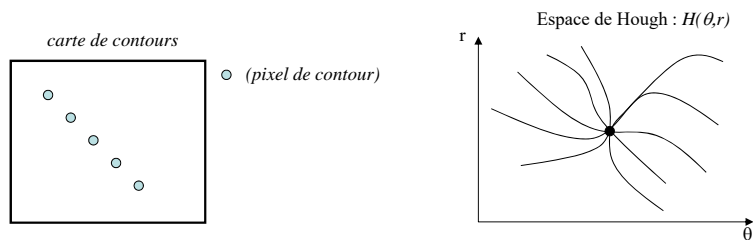
$$r = i \cos(\theta) + j \sin(\theta)$$

Puisqu'il existe un nombre infini de courbes pouvant passer par un pixel (i,j), chaque *pixel de contour* dans la *carte de contours* correspond à une courbe de valeurs dans l'espace de Hough.

19

## Représentation d'une courbe

### Transformée de Hough



À chaque *pixel de contour* d'une même ligne dans la *carte de contours* correspond une courbe dans l'espace de Hough. Ces différentes courbes se croisent en un point.

20

# Représentation d'une courbe

## Transformée de Hough

exemple

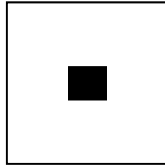
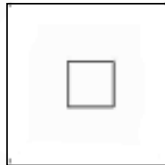
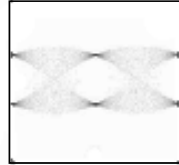


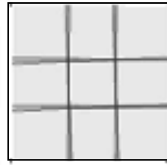
Image d'entrée  
 $f(x,y)$



Carte de contours  
 $c(x,y)$



Transformée de Hough  
(Espace  $H(\theta,r)$ )



Principales lignes  
reconstruites

Mignotte

21

Algorithme C1

### Transformée de Hough

```
 $c(x,y) = \text{DÉTECTION\_CONTOURS\_CANNY}(f(x,y), \tau_1, \tau_2)$ 
```

```
 $H(\theta, r) = 0 \quad \forall \theta, r$ 
```

```
POUR CHAQUE pixel (x, y) FAIRE
```

```
  SI  $c(x,y) > 0$  ALORS
```

```
    /* Incrémenter  $H(\theta, r)$  */
```

```
    POUR  $\theta$  allant de -90 à 90 FAIRE
```

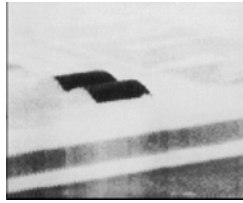
```
       $r = x \cos(\theta) + y \sin(\theta);$ 
```

```
       $H(\theta + 90, r) = H(\theta + 90, r) + 1;$ 
```

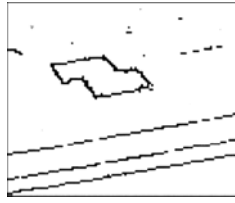
22

# Représentation d'une courbe

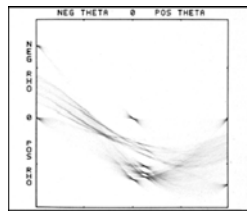
Transformée de Hough



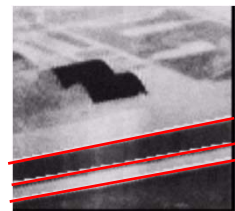
(a) Image originale



(b) Carte de contours



(c) Transformée de Hough  
(espace  $H(\theta, r)$ )



(d) Lignes correspondant aux trois points  
d'accumulation les plus élevés dans (c)

Gonzalez-Woods

23

# Les opérateurs morphologiques

Traitement d'images binaires

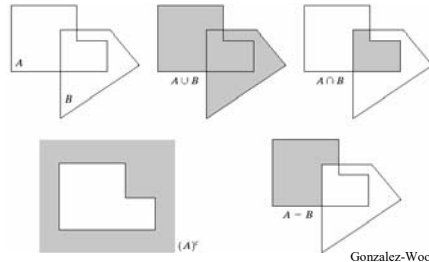
24

# Les opérateurs morphologiques

Notions de base : la théorie des ensembles

Les opérateurs morphologiques sont des fonctions traitant des images binaires à l'aide de la théorie des ensembles.

Pourquoi? car c'est **simple et rapide**.



- |   |              |
|---|--------------|
| $A \cup B = \{x \mid x \in A \text{ ou } x \in B\}$ | Union        |
| $A \cap B = \{x \mid x \in A \text{ et } x \in B\}$ | Intersection |
| $A^c = \{x \mid x \notin A\}$                       | Complément   |
| $A - B = \{x \mid x \in A \text{ et } x \notin B\}$ | Soustraction |
| $A_t = \{x \mid x = a + t, a \in A\}$               | Translation  |
| $\hat{A} = \{x \mid -x \in A\}$                     | Inversion    |

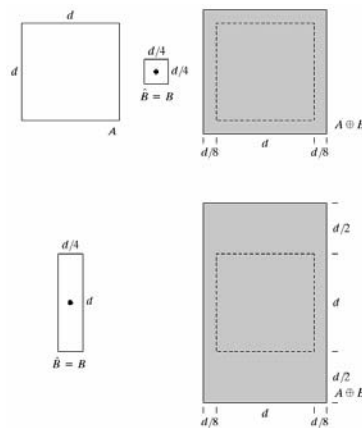
# Les opérateurs morphologiques

**Dilatation**

$$A \oplus B = \{x \mid B_x \cap A \neq \emptyset\}$$

Ensemble de tous les pixels « x » tel que B translaté de x CHEVAUCHE A

B: élément structurant



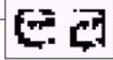
# Les opérateurs morphologiques

## Dilatation

Historically, certain computer programs were written using only two digits rather than four to define the applicable year. Accordingly, the company's software may recognize a date using "00" as 1900 rather than the year 2000.

0	1	0
1	1	1
0	1	0

Historically, certain computer programs were written using only two digits rather than four to define the applicable year. Accordingly, the company's software may recognize a date using "00" as 1900 rather than the year 2000.



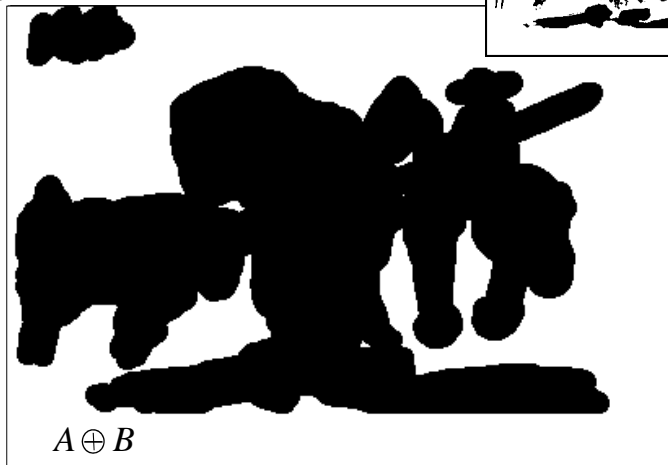
(a) Image originale

(b) Élément structurant

(c) Résultat de la dilatation

# Les opérateurs morphologiques

## Dilatation



$$A \oplus B$$

A

Structuring Element



B

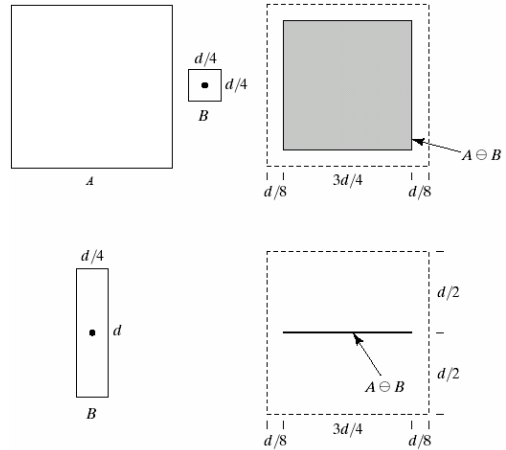
Pablo Picasso, *Pass with the Cape*, 1960

# Les opérateurs morphologiques

## Érosion

$$A \ominus B = \{x \mid B_x \subseteq A\}$$

Ensemble de tous les pixels « x » tel que B translaté de x est ENTièrement contenu dans A



Gonzalez-Woods

29

# Les opérateurs morphologiques

## Érosion

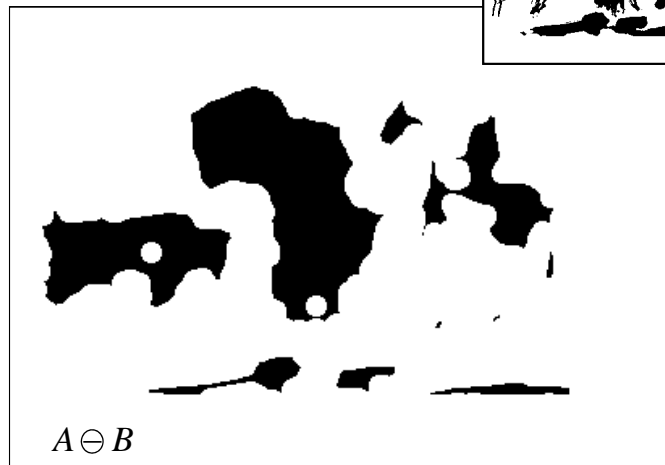


A

Structuring Element



B



$A \ominus B$

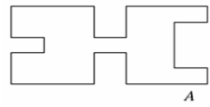
Pablo Picasso, *Pass with the Cape*, 1960

30  
John Goutsias

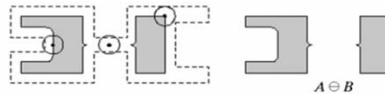
# Les opérateurs morphologiques

Ouverture = érosion + dilatation

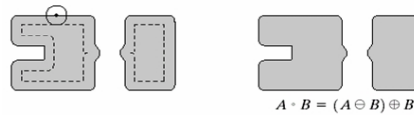
$$A \circ B = (A \ominus B) \oplus B$$



(a) Image originale



(b) Érosion




(c) Ouverture : Dilatation de l'érosion

$$A \circ B = (A \ominus B) \oplus B$$

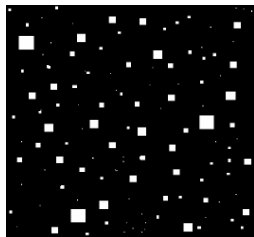
# Les opérateurs morphologiques

Ouverture = érosion + dilatation

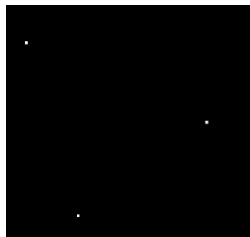
Application de l'ouverture : localiser les "gros objets dans la scène"

Élément structurant 

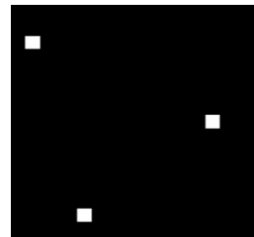
$$A \circ B = (A \ominus B) \oplus B$$



(a) Image originale



(b) Résultat de l'érosion avec un élément structurant  $13 \times 13$



(c) Application de la dilatation pour retrouver la taille originale



# Les opérateurs morphologiques

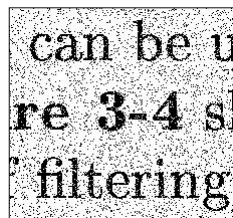
Ouverture = érosion + dilatation

Application de l'ouverture : filtrer des pixels noirs isolés

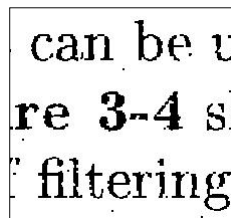
Élément structurant



$$A \circ B = (A \ominus B) \oplus B$$



(a) Image originale



(b) Ouverture

# Les opérateurs morphologiques

Ouverture = érosion + dilatation

$$A \circ B = (A \ominus B) \oplus B$$

Application de l'ouverture : localiser les "objets horizontaux, diagonaux et verticaux"

Élément structurant



(a) Image originale



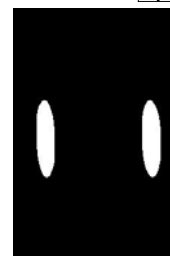
(b) ouverture avec élément structurant horizontal

Élément structurant



(c) Ouverture avec élément structurant diagonal

Élément structurant

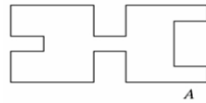


(c) Ouverture avec élément structurant vertical

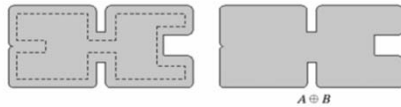
# Les opérateurs morphologiques

Fermeture = dilatation + érosion

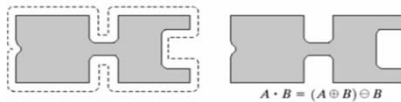
$$A \bullet B = (A \oplus B) \ominus B$$



(a) Image originale



(b) Dilatation



(c) Fermeture : Érosion de la dilatation

35  
Gonzalez-Woods

# Les opérateurs morphologiques

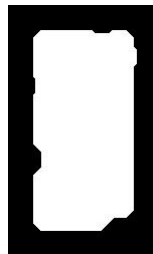
Fermeture = dilatation + érosion

$$A \bullet B = (A \oplus B) \ominus B$$

Application : remplir des trous



Image originale

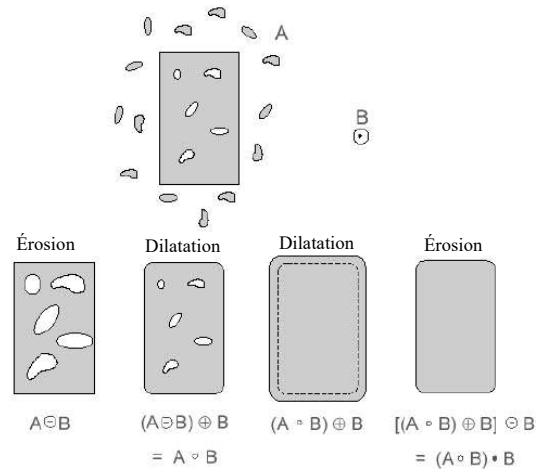


Fermeture

36  
Gonzalez-Woods

# Les opérateurs morphologiques

(Ouverture + Fermeture)



37  
Gonzalez-Woods

# Les opérateurs morphologiques

Ouverture + Fermeture

Ouverture : éliminer les points blancs isolés

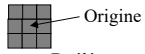
Fermeture : éliminer les points noirs isolés



38  
Gonzalez-Woods

# Les opérateurs morphologiques

détection de contours



B: élément structurant



Image originale : A



Dilatation : D



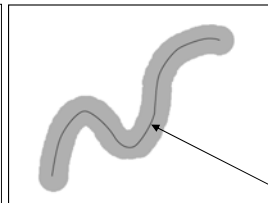
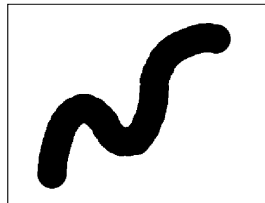
Edge map : C

$$C = D - A$$

$$C = (A \oplus B) - A$$

# Les opérateurs morphologiques

Extraction du squelette (axe central d'un objet)



Squelette

## Les opérateurs morphologiques

Extraction du squelette (axe central d'un objet)



Original

Erosion

Multiple Erosion =  
Skeleton

On applique une série d'érosions jusqu'à ce qu'on obtienne des segments filiformes.

$$X_k = X_{k-1} - B \quad \text{avec } X_0 = A, k \text{ itérateur}$$

$$X_k = (((A \ominus B) \ominus B) \ominus B) \ominus \dots \ominus B)$$

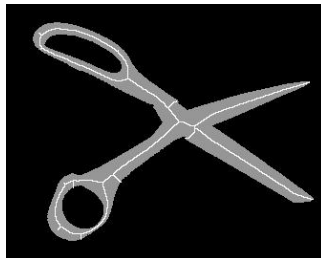
41

## Les opérateurs morphologiques

Extraction du squelette (axe central d'un objet)

$$X_k = X_{k-1} \oplus B \quad \text{avec } X_0 = A, k \text{ itérateur}$$

$$X_k = (((A \ominus B) \ominus B) \ominus B) \ominus \dots \ominus B)$$



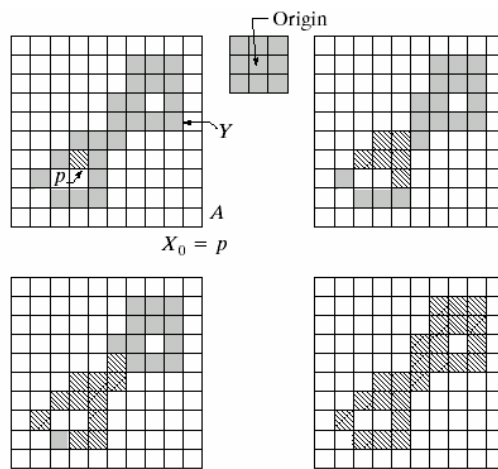
<http://www.mmorph.com/handson/handson/fig/hofig4s8.html>

42

# Les opérateurs morphologiques

## Extraction de composantes connexes

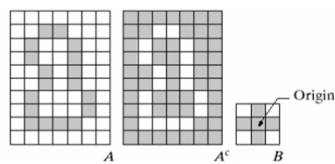
$$X_k = (X_{k-1} \oplus B) \cap A \quad \text{avec } X_0 = A, k \text{ itérateur}$$



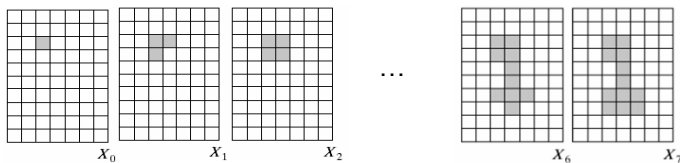
# Les opérateurs morphologiques

## Remplissage de régions

$$X_k = (X_{k-1} \oplus B) \cap A^c \quad \text{avec } X_0 = A, k \text{ itérateur}$$



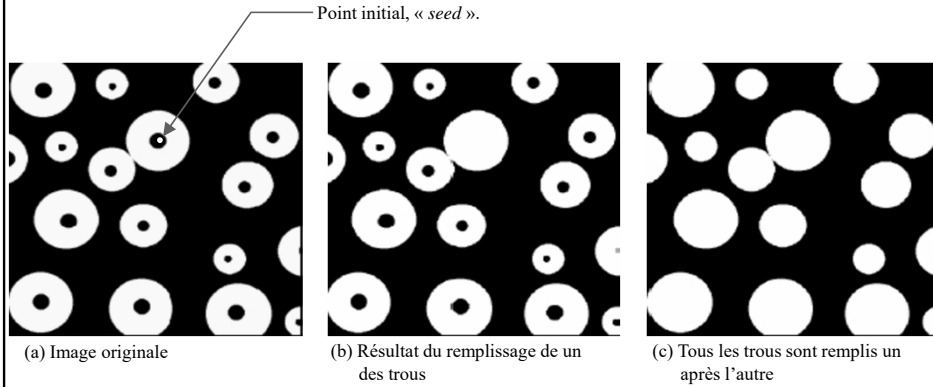
(a) Configuration initiale



(b) Diverses étapes du processus

# Les opérateurs morphologiques

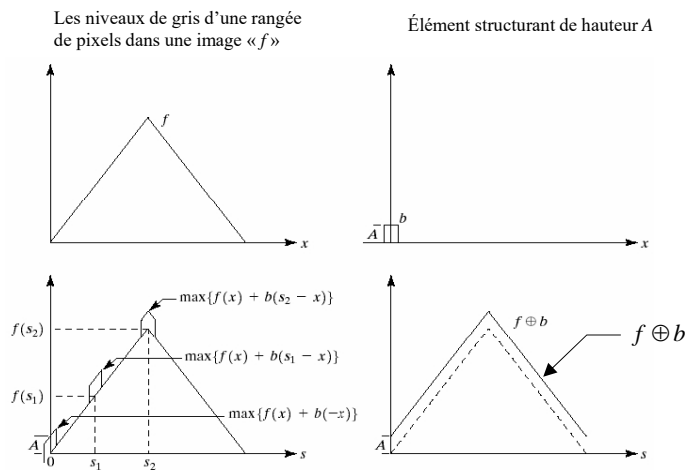
## Remplissage de régions



# Les opérateurs morphologiques

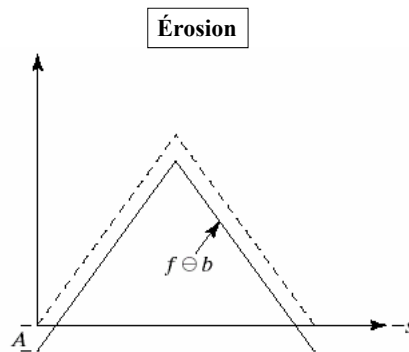
## Et pour les images en niveaux de gris?

### Dilatation



# Les opérateurs morphologiques

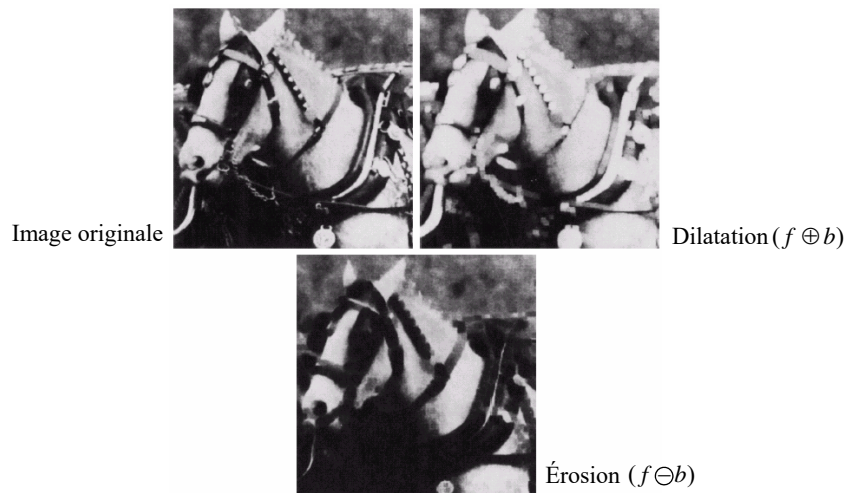
Et pour les images en niveaux de gris?



47  
Gonzalez-Woods

# Les opérateurs morphologiques

Et pour les images en niveaux de gris?



48  
Gonzalez-Woods



## Les opérateurs morphologiques

Et pour les images en niveaux de gris?

Ouverture

Fermeture



Résultat de l'ouverture : les détails clairs sont disparus

$$f \circ b = ((f \ominus b) \oplus b)$$

Résultat de la fermeture : les détails foncés sont disparus

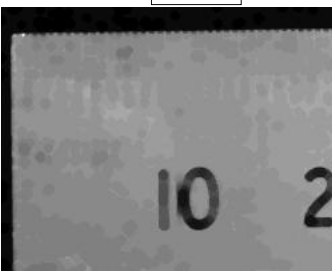
$$f \bullet b = ((f \oplus b) \ominus b)$$

49  
Gonzalez-Woods

## Les opérateurs morphologiques

Et pour les images en niveaux de gris?

Application de la fermeture : éliminer les petits détails sombres



Fermeture

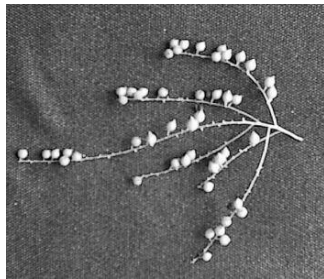
$$f \bullet b$$

50  
<http://www.mmorph.com/handson/handson/fig/hofig5s34.html>

## Les opérateurs morphologiques

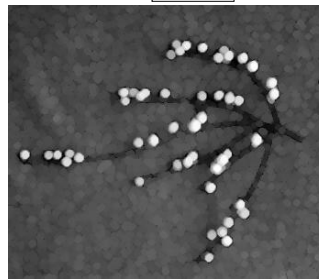
Et pour les images en niveaux de gris?

Application de l'ouverture et de la fermeture: éliminer de petits détails clairs



Ouverture

$$f \circ b$$



<http://www.mmorph.com/handson/handson/fig/hofig5s29.html>

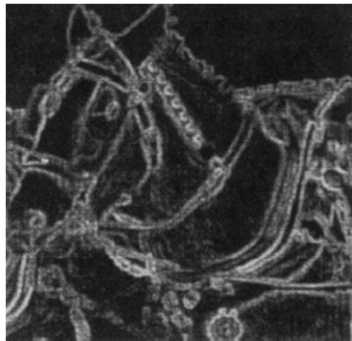
51

## Les opérateurs morphologiques

Et pour les images en niveaux de gris?

Une autre application : le gradient morphologique

$$(f \oplus b) - (f \ominus b)$$



<http://www.mmorph.com/handson/handson/fig/hofig5s29.html>

52